

ارائه‌ی یک مدل ریاضی جدید به منظور تخصیص وسایل نقلیه به سکوها و مسیریابی وسایل نقلیه به طور هم‌زمان در انبار عبوری با پنجره‌ی زمانی نرم

مهندسی صنایع و مدیریت شر夫، (تاپستان ۱۳۹۸) دری ۱۰۵، شماره ۲/۱، ص. ۸۴-۸۷

مهدي علينقيان* (استاديار)

البرز حسن‌زاده (كارشناس ارشد)

علي زينل همداني (استاد)

دانشکده‌ی هندسى صنایع و سیستم‌ها، دانشگاه صنعتی اصفهان

کلیدی‌ی ترین عملیات‌ها در انبارهای عبوری، تخصیص سکوها به وسایل نقلیه و مسیریابی وسایل نقلیه است. در نظر گرفتن این دو موضوع به طور هم‌زمان باعث کاهش هزینه‌ها به طور چشم‌گیری می‌شود. در این مقاله این دو موضوع به طور هم‌زمان بررسی شده‌اند و یک مدل ریاضی عدد صحیح مختلط برای این مسئله ارائه شده است. با توجه به اهمیت زمان بازدید مشتریان در مدل پیشنهادی برای مشتریان پنجره‌ی زمانی نرم نیز در نظر گرفته شده است. در ادامه با توجه به NP-Hard بودن مسئله‌ی مطرح شده یک الگوریتم شبیه‌سازی تبرید جدید ارائه شده است. به منظور بررسی عملکرد الگوریتم پیشنهادی نتایج حاصل در ابعاد کوچک با نتایج حاصل از روش دقیق و الگوریتم جست‌وجوی ممنوعه مقایسه شد. در مسائل با ابعاد بزرگ نیز نتایج حاصل از الگوریتم پیشنهادی با الگوریتم جست‌وجوی ممنوعه مقایسه شدند. نتایج نشان‌دهنده‌ی عملکرد مناسب الگوریتم پیشنهادی برای مسئله‌ی مطرح است.

alinaghian@cc.iut.ac.ir
a.hassanzadeh@in.iut.ac.ir
hamadani@cc.iut.ac.ir

وازگان کلیدی: الگوریتم جست‌وجوی ممنوعه، الگوریتم شبیه‌سازی تبرید، انبار عبوری، تخصیص سکوها، مسیریابی وسایل نقلیه با پنجره‌ی زمانی نرم.

۱. مقدمه

امروزه در دنیای رقابتی توزیع کالا، شرکت‌ها با کاهش هزینه‌ها در هر قدم از عملیات سعی می‌کنند کل هزینه‌ها را کاهش دهند. از جمله‌ی این هزینه‌ها، هزینه‌ی حمل و نقل است.^[۱] از طرف دیگر مشتریان تقاضای خدمات بهتر و سریع‌تری دارند که با رگرسیون و انتقال سریع تر و زمان‌بندی شده کالاها روشی در پاسخ به این موضوع است. یکی از روش‌های بدین در زمینه‌ی انبارداری که منجر به کاهش هزینه‌ها می‌شود، استفاده از انبار عبوری است. انبار عبوری، انباری برای سرعت بخشیدن به عملیات توزیع کالا است که عمولاً کالاها کمتر از ۲۴ ساعت در آن انبار می‌شوند. در این نوع انبارها تعدادی سکو برای بارگیری و بارگذاری کالا وجود دارد. از طرف دیگر انبار عبوری نقشه‌ی قوتی در جریان حرکت و انتقال مواد محسوب می‌شود. تصمیمات در یک انبار عبوری به چند گروه کلی تقسیم می‌شوند. این تصمیمات شامل، تصمیمات مربوط به مکان‌یابی انبار عبوری در یک شبکه‌ی زنجیره‌ی تأمین، تصمیمات مربوط

* نویسنده مسئول

تاریخ: دریافت ۲۵، ۶، ۱۳۹۶، اصلاحیه ۵، ۱۳۹۷، ۲/۵. پذیرش ۱۳۹۷، ۳، ۱۳.

DOI:10.24200/J65.2018.7184.1749

اندازه‌ی دسته‌ها، جفت کردن سکوها و ورود و خروج و تصمیم در مورد نگه‌داری موجودی از جمله مسائلی بود که در این مقاله بررسی شد. با توجه به پیچیدگی مسئله، آنها یک الگوریتم ابتکاری گسترش دادند.

نیکولوبولو و همکاران^[۱] در یک مقاله در سال ۲۰۱۷ به بررسی تقاضه توزيع مستقیم و استفاده از انبارهای عبوری در شبکه‌های توزيع پرداختند. برای حل و بررسی تقاضه راهبردهای مختلف، آنها یک الگوریتم جستجوی محلی گسترش دادند و برای بررسی و ارزیابی کیفیت الگوریتم از مسائل نمونه‌ی موجود در پیشینه‌ی مسئله استفاده کردند. در نهایت یک مدل تکیبی برای استفاده از توزيع مستقیم و انبار عبوری ارائه شده است.

گلاره و همکاران^[۲] برای مسئله‌ی تخصیص سکو در انبار عبوری یک روش حل دقیق ارائه کردند. برای حل مسئله آنها یک الگوریتم شاخه و برش گسترش دادند.

مولوی و همکاران^[۳] یک الگوریتم ژنتیک تکیبی با الگوریتم جستجوی محلی برای حل مسئله‌ی زمان‌بندی کامیون در انبارهای عبوری ارائه کردند. از فرضیات آنها داشتن پنجره‌ی زمانی برای تحويل کالا و موعد تحويل ثابت است. نتایج محاسباتی این تحقیق نشان می‌دهد که تعیین بهینه‌ی پنجره‌ی زمانی به بهبود و بهینه‌سازی عملیات در انبار عبوری کمک می‌کند.

گروه دیگری از پژوهشگران مسئله‌ی مسیریابی و سایل نقلیه در انبار عبوری را بررسی کردند. لیو و همکاران^[۴] بر اهمیت استفاده از انبارهای عبوری برای کاهش هزینه‌های موجودی تأکید کردند و مسئله‌ی مسیریابی و سایل نقلیه را در نظر گرفتند. آنها بیان کردند که برخلاف اکثر تحقیقات گذشته که بر جنبه‌ی راهبردی مسائل انبارهای عبوری تمرکز کردند، تأکید آنها بر جنبه‌ی عملیاتی کاهش هزینه‌ها در انبار عبوری است.^[۵] مسئله‌ی مسیریابی و سایل نقلیه در انبار عبوری را بررسی کردند. هدف آنها کمینه کردن هزینه‌های عملیاتی، هزینه‌های حمل و نقل، ارائه‌ی یک توالی بهینه از وسایل نقلیه و ارائه‌ی تعداد بهینه و سایل نقلیه است. موسوی و همکاران^[۶] در سال ۲۰۱۳، یک مسئله‌ی مکان‌یابی و مسیریابی و سایل نقلیه را در یک انبار عبوری در نظر گرفتند و برای این مسئله یک مدل برنامه‌ریزی عدد صحیح غیرخطی مخاطط ارائه کردند. در مقاله‌ی آنها بیان می‌شود که این دسته از مسائل در گروه مسائل NP-hard هستند. در نهایت مسئله با دو الگوریتم فراباگری احل شد. داندو و سردا^[۷] مسئله‌ی مسیریابی تخلیه و بارگیری در یک انبار عبوری را به طور هم‌زمان در نظر گرفتند. آنها یک مدل ریاضی برای مسئله ارائه کردند؛ سپس بر اساس الگوریتم ابتکاری جارو محدودیت‌هایی به مدل اضافه کردند. این تغییرات سبب افزایش سرعت و رسیدن به جواب‌های نزدیک به بهینه شد. موسوی و همکاران^[۸] در مقاله‌ی دیگر مسئله‌ی مکان‌یابی و مسیریابی و سایل نقلیه را در یک انبار عبوری در شرایط فازی بررسی و یک مدل برنامه‌ریزی غیرخطی عدد صحیح مخاطط برای مسئله ارائه می‌کنند. موسوی و همکاران^[۹] در مقاله‌ی که در سال ۲۰۱۴ منتشر شد یک مسئله‌ی مسیریابی در انبار عبوری را در نظر گرفته و به حل آن پرداخته‌اند. هدف آنها پیدا کردن مسیرهای بهینه برای وسایل نقلیه بود. مقدم و همکاران^[۱۰] مسئله‌ی مسیریابی و زمان‌بندی را در یک انبار عبوری با در نظر گرفتن امکان شکست تقاضا برای مشتریان در نظر گرفتند. در هنگام مسیریابی هنگامی که حجم بار هر مشتری نسبت به ظرفیت وسیله‌ی نقلیه بزرگ باشد شکست بار مشتری و حمل آن با تعدادی از وسایل نقلیه سبب کاهش تعداد وسایل نقلیه مورد استفاده می‌شود. آگوستینا و همکاران^[۱۱] مسئله‌ی زمان‌بندی و مسیریابی برای یک انبار عبوری برای غذا را بررسی و بیان کردند که استفاده از انبار عبوری برای کالاهایی مناسب است که زمان نگه‌داری آنها باید کم باشد. آنها مجموع هزینه‌ها که شامل

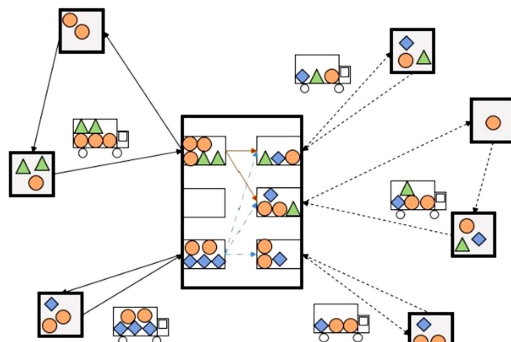
وسایل به سکوها امکان‌پذیر نیست. از سوی دیگر عدم توجه به مسیریابی و سایل نقلیه و توجه صرف به مسئله‌ی تخصیص و سایل نقلیه به سکوها می‌تواند منجر به ایجاد مسیرهای نامناسب شود. همچنین توجه به زمان مورد انتظار مشتریان برای بازدید از دیگر موارد پر اهمیت در مسیریابی است. عموماً مشتریان یک پنجره‌ی زمانی از قبل مشخص شده منجر به کاهش رضایت مشتریان با اعمال جریمه به شرکت توزيع می‌شود. در پیشینه‌ی موضوع انبار عبوری، محققان در موارد مختلف و متعددی به کاهش هزینه‌های عملیاتی انبار عبوری و هزینه‌های مسیریابی، به طور مجزا پرداختند. مقالات متعددی ثابت کردند که این مسائل از نوع NP-hard هستند. پس حل مسائل مطرح توسط الگوریتم‌های فراباگری یک راه حل معقول است.

در این مقاله دو موضوع کلیدی تخصیص سکو به وسایل نقلیه و مسیریابی و سایل نقلیه در انبار عبوری به طور هم‌زمان با وجود پنجره‌ی زمانی نرم بررسی می‌شوند. نواوری‌های این پژوهش به طور خلاصه به شرح زیر است: یک مدل ریاضی یک پارچه به منظور بهینه‌سازی هم‌زمان مسئله‌ی تخصیص سکوها و مسیریابی و سایل نقلیه همراه را پنجره‌ی زمانی، ارائه‌ی دو روش فراباگری مبتنی بر الگوریتم فراباگری شبیه‌سازی تبرید جستجوی ممنوعه برای حل مسئله در ابعاد بزرگ، و در نهایت بررسی الگوریتم‌های ارائه شده در مسائل نمونه در ابعاد کوچک و بزرگ در مقایسه با روش حل دقیق.

در ادامه مقاله در ابتدا در بخش دوم پیشینه‌ی موضوع مسئله ارائه می‌شود. سپس در بخش سوم به تعریف مسئله پرداخته و مدل ریاضی یک پارچه ارائه می‌شود. بخش چهارم به روش حل پیشنهادی تخصیص یافته است. در بخش پنجم نتایج حاصل از حل مسائل نمونه در ابعاد کوچک و بزرگ بررسی می‌شود و در نهایت بخش ششم به نتیجه‌گیری تخصیص یافته است.

۲. مرور پیشینه‌ی موضوع

تعدادی از محققان به مسئله‌ی تخصیص سکو در انبارهای عبوری پرداخته‌اند. آنها و همکاران^[۱۲] مسئله‌ی تخصیص سکوها را برای یک مرکز پست در کره در نظر گرفتند و برای حل مسئله از یک الگوریتم ابتکاری با سه فاز و یک الگوریتم ژنتیک استفاده کردند. میاو و همکاران^[۱۳] یک مسئله‌ی تخصیص سکو در یک انبار عبوری را با در نظر گرفتن هزینه‌های عملیاتی داخل انبار عبوری در نظر گرفته و مسئله را با دو الگوریتم فراباگری، الگوریتم جستجوی ممنوعه و الگوریتم ژنتیک حل کردند. کنور و کلیاس^[۱۴] مسئله‌ی زمان‌بندی و سایل نقلیه را برای سکوها و رودی در یک انبار عبوری بررسی کردند. در مقاله‌ی آنها زمان رسیدن و سایل نقلیه به سکوها برای بارگیری مشخص و قطعی نیست. میاو و همکاران^[۱۵] یک مدل خطی برای مسئله‌ی تخصیص سکو ارائه کردند. در سال ۲۰۱۴ مدنی اصفهانی و همکاران^[۱۶] یک مسئله با چند انبار عبوری را در نظر گرفتند و برای آن یک مدل برنامه‌ریزی عدد صحیح مخاطط غیرخطی ارائه کردند. هدف کمینه کردن کل زمان‌های عملیاتی یا پیشینه کردن خروجی انبار عبوری بود. برای حل مسئله نیاز از دو الگوریتم فراباگری کرم شب تاب و الگوریتم شبیه‌سازی تبرید بهره برد شده است. با تمرکز بر اهمیت هماهنگی سکوها برای بارگیری و بارگذاری در مراکز انتقال و انبارهای عبوری، کلار و همکاران^[۱۷] یک مسئله هماهنگی بین سکوها در یک انبار عبوری را بررسی کردند.



شکل ۱. مسئله‌ی مسیریابی و تخصیص در یک انبار عبوری.

K : مجموعه‌ی تمام وسایل نقلیه $K \subseteq K_1$ مجموعه‌ی وسایل نقلیه‌ی پخش؛
 $K_2 \subseteq K$: مجموعه‌ی وسایل جمع‌آوری، k : اندیس مربوط؛
 L : مجموعه‌ی تمام سکوها، l : اندیس‌های مربوط به سکوها؛
 R : مجموعه‌ی کالاهای R اندیس مربوط.

هزینه‌ی نگهداری موجودی و هزینه‌ی تحویل کالا، هزینه‌ی تأخیر یا زودکرد در تحویل است را کمینه کردند. بنی عامریان و همکاران^[۲۰] مسیریابی برای یک انبار عبوری را با یک روش فراابتکاری ترکیبی حل کردند. آنها یک الگوریتم فراابتکاری ترکیبی از الگوریتم ژنتیک والگوریتم ویان اس ارائه دادند. نتایج نشان داد که الگوریتم ترکیب از دو الگوریتم پایه در حل مسئله عملکرد بهتری دارد.

مکنون و لاپورته به مسئله‌ی مسیریابی در چندین انبار عمومی پرداختند. آنها در مسئله‌ی خود مبحث هماهنگ‌سازی انبار عمومی را در نظر گرفتند و امکان بازدید یک وسیله‌ی نقلیه از بیش از یک انبار عمومی را در نظر گرفتند. در نهایت آنها مسئله‌ی مطرح را با یک الگوریتم فراابتکاری حل کردند.^[۲۱]

با توجه به تأثیر کالاهای حمل شده توسط وسایل بر کالاهای حمل شده توسعه آنها و در نتیجه مسیرهای پیموده شده بر تخصیص سکوها به وسایل نقلیه، عدم توجه یک پارچه به مسیریابی وسایل و تخصیص وسایل نقلیه به سکوها باعث رسیدن به جواب‌های زیر بهینه خواهد شد. در این مقاله یک مدل ریاضی خطی یک پارچه برای مسئله‌ی مسیریابی و تخصیص سکوها برای انبارهای عبوری ارائه شده است.

۳. تعریف مسئله

۲.۳. پارامترهای مسئله

C_{ij} : هزینه‌ی عبور از $j-i$ ؛

t_{ij} : زمان مورد نیاز برای رفت از گره i به گره j ؛

D_{lq} : فاصله‌ی سکوی l از سکوی q ؛

d_{pi} : میزان تولید (نقاضی) کالای نوع r توسط تأمین‌کننده‌ی (مشتری) p ؛

CD_r : هزینه‌ی انتقال یک واحد کالای نوع r به میزان یک واحد مسافت داخل انبار عبوری؛

CP_k : ظرفیت وسیله‌ی نقلیه‌ی k ؛

ub_j : حد بالا پنجره‌ی زمانی مشتری j ؛

lb_j : حد پایین پنجره‌ی زمانی مشتری j ؛

P_{lj} : جریمه‌ی یک واحد زودکرد مربوط به مشتری j ؛

P_{Uj} : جریمه‌ی یک واحد زودکرد مربوط به مشتری j ؛

۳.۳. متغیرهای تصمیم

X_{ij}^k : اگر یال با $j-i$ با وسیله‌ی نقلیه‌ی k پیموده شود ۱ و در غیر این صورت ۰؛

Z_i^k : اگر گره i به وسیله‌ی نقلیه‌ی k اتمام تخصیص یابد ۱ و در غیر این صورت ۰؛

Y_q^k : اگر وسیله‌ی نقلیه‌ی k به سکوی q اتمام تخصیص یابد؛

N_{lqr} : کل میزان کالای ارسال شده‌ی نوع r از سکوی l به سکوی q ؛

U_i^k : برای حذف زیرتورها؛

AT_j : زمانی که به گره j سرویس داده می‌شود؛

V_{Uj} : مقدار دیرکرد مربوط به مشتری j ؛

V_{lj} : مقدار زودکرد مربوط به مشتری j .

۴.۳. مدل ریاضی پیشنهادی

در این قسمت مدل ریاضی برنامه‌ریزی غیرخطی مسئله با توضیح محدودیت‌ها و تابع هدف ارائه می‌شود.

در مسئله‌ی مطرح یک انبار عبوری و تعدادی گره شامل تولیدکنندگان و مشتریان وجود دارد. همچنین تعدادی وسیله‌ی نقلیه برای بارگیری و بارگذاری وجود دارند. هدف ارائه‌ی یک تخصیص بهینه از مشتریان و تولیدکنندگان به وسایل نقلیه و همچنین تخصیص وسایل نقلیه به سکوها به گونه‌ی است که هزینه‌های حمل و نقل و ازدحام داخل انبار عبوری و هزینه‌های مسیریابی وسایل نقلیه به طور همزمان کاهش یابد. فرضیات مسئله به این صورت است: تعداد وسایل نقلیه برابر با تعداد سکوهاست و ارسال مستقیم از تأمین‌کنندگان به خرده‌فروشان امکان‌پذیر نیست. این فرض بدین معنی است که یک وسیله‌ی نقلیه فقط می‌تواند به مشتریان یا تأمین‌کنندگان خدمت دهی کند. هر وسیله‌ی نقلیه ظرفیت مشخصی دارد و ظرفیت وسایل نقلیه مربوط به پخش جمع‌آوری (تولیدکننده‌ها) بزرگ‌تر از ظرفیت وسایل نقلیه مربوط به پخش (مشتری‌ها) است. هر سکو در هر لحظه فقط برای یکی از عملیات بارگیری (دريافت) کالا یا بارگذاری (ارسال) کالا می‌تواند استفاده شود. اما در کل سکوها می‌توانند هم عملیات بارگیری انجام دهند و هم عملیات بارگذاری برای هر تولیدکننده و هر مشتری یک پنجره‌ی زمانی برای جمع‌آوری یا تحویل کالا مشخص شده است. در صورت دریافت کالا از تولیدکنندگان یا تحویل کالا به مشتریان در خارج از این پنجره‌ی زمانی، یک مقدار جریمه به سیستم تحمیل خواهد شد. در شکل ۱ یک شبکه‌ی حمل و نقل و مسیریابی و تخصیص شامل انبار عبوری، تولیدکنندگان و مشتریان نشان داده شده است.

هر تولیدکننده می‌تواند چند نوع کالا تولید کند و هر مشتری می‌تواند تقاضایی متشکل از چند نوع کالا داشته باشد. متعاقباً هر سکو می‌تواند تا چند نوع کالا دریافت یا ارسال کند. هزینه برای حرکت از یک گره به گره دیگر برای هر وسیله‌ی نقلیه و گره‌های مختلف بسته به مسافت متفاوت است. در ادامه علامت اصلی استفاده شده در طول این مقاله معرفی و توضیح داده می‌شوند.

۵.۱.۳. مجموعه‌های اندیس‌ها

V : مجموعه‌ی تمامی گره‌ها، $P \subseteq V$ مجموعه تأمین‌کنندگان و $RE \subseteq V$ مجموعه‌ی مشتریان، که در آن $1 = i$ انبار عبوری و z, q اندیس‌های مربوط؛

می‌کند که خرده‌فروشان یا مشتری‌های از وسائل نقلیه‌ی مخصوص به آن‌ها استفاده کنند (وسائل نقلیه‌ی کوچک‌تر). رابطه‌ی ۶ تضمین می‌کند که اگر وسیله‌ی نقلیه‌ی کام به یک گره وارد شود، باید از آن خارج شود. محدودیت‌های ۷ و ۸ مربوط به حذف زیرتور هستند. محدودیت ۹ مربوط به تخصیص تأمین‌کنندگان و مشتریان به وسائل نقلیه است. محدودیت ۱۰ تضمین می‌کند که میزان محصولاتی که به یک وسیله تخصیص می‌یابد، کمتر از یا مساوی با ظرفیت وسیله نقلیه باشد. محدودیت‌های ۱۱ و ۱۲ مربوط به تخصیص سکوها به وسائل نقلیه‌اند. محدودیت‌های ۱۳ و ۱۴ مربوط به تعادل بارهای ورودی و خروجی از سکوها هستند. محدودیت ۱۳ تضمین می‌کند که میزان بار وارد شده از نوع r به یک سکوی ورودی برابر با میزان ارسال آن نوع کالا از آن سکو به سکوهای خروجی است. محدودیت ۱۴ بیان می‌کند که میزان بار ورودی از کالای نوع r با میزان کالای ارسالی به مشتریان از آن سکو مساوی است. میزان کالاهای ارسال شده به مشتریان از سکوها را مشخص می‌کند. محدودیت ۱۵ زمان رسیدن یک وسیله‌ی نقلیه به گره j را محاسبه می‌کند که عبارت است از زمان رسیدن به گره قبلی (i) بهاضه‌ی زمان مورد نیاز برای رفتن از گره قبلی (i) به گره مورد نظر (j). روابط ۱۶ و ۱۷ میزان جرمیه‌ی ناشی از دیرکرد یا زودکرد تغییر سفارش‌ها به هر گره را مشخص می‌کنند و رابطه‌ی ۱۸ مربوط به وضعیت متغیرهای مدل است. در مورد زمان مورد نیاز برای طی کردن کمان $j - i$ در بخش‌های بعدی توضیحات لازم ارائه خواهد شد.

۵.۳. خطی‌سازی مدل

مدل ریاضی مسئله یک مدل غیرخطی است. در این زیربخش برای تسهیل در محاسبات مدل ریاضی غیرخطی ارائه شده به یک مدل ریاضی خطی تبدیل می‌شود. برای خطی‌سازی از مفهوم ریاضی مقابله استفاده می‌شود. فرض کنید متغیرهای یک مسئله z و y باشند و در مدل مسئله از حاصل ضرب این دو متغیر (z, y) استفاده شود. اگر یک متغیر جدید به نام x تعریف کنیم که رابطه‌ی بین x و y به صورت مقابله باشد: $x \geq y + z - 1$ & $x \leq z + y$ در این صورت با جایگزینی حاصل ضرب این دو متغیر با متغیر جدید می‌توان مسئله را به یک مسئله خطی تبدیل کرد. در مدل ارائه شده روابط ۱۳ و ۱۴ و همچنین $ZY_{iq}^k = Z_i^k Y_q^k$ رابطه‌ی ۱۷ باعث غیرخطی شدن مدل مسئله شده‌اند. با تعریف جایگزین کردن متغیر جدید به جای ضرب دو متغیر قبلی و همچنین اضافه کردن سه محدودیت زیر به مدل، مدل خطی می‌شود.

$$ZY_{iq}^k \leq Z_i^k \quad (19)$$

$$ZY_{iq}^k \leq Y_q^k \quad (20)$$

$$ZY_{iq}^k \geq Z_i^k + Y_q^k - 1 \quad (21)$$

برای خطی‌سازی معادله شماره‌ی ۱۷ نیز مانند قبل عمل می‌کنیم و روابط زیر را در مدل جایگزین می‌کنیم:

$$T_{ij}^k = AT_i^* x_{ij}^k \quad (22)$$

$$T_{ij}^k \leq AT_i \quad (23)$$

$$T_{ij}^k \leq M^* x_{ij}^k \quad (24)$$

$$T_{ij}^k \geq AT_i - M^*(1 - x_{ij}^k) \quad (25)$$

$$T_{ij}^k \geq 0 \quad (26)$$

Minimize

$$\begin{aligned} & \sum_{i \in V} \sum_{j \in V} \sum_{k \in K} C_{ij} X_{ij}^k + \sum_{l \in L} \sum_{q \in L} \sum_{r \in R} D_{lq} CD_r N_{lqr} \\ & + \sum_{j \in v} (Pl_j \cdot Vl_j + Pu_j \cdot Vu_j) \end{aligned} \quad (1)$$

St :

$$\sum_{j \in V} X_{ij}^k = 1 \quad k \in K \quad (2)$$

$$\sum_{i \in V} \sum_{k \in K} X_{ij}^k = 1 \quad j \in V \setminus \{v\} \quad (3)$$

$$\sum_{i \in RE} \sum_{j \in V} \sum_{k \in K_1} X_{ij}^k = 0 \quad (4)$$

$$\sum_{i \in P} \sum_{j \in V} \sum_{k \in K_r} X_{ij}^k = 0 \quad (5)$$

$$\sum_{i \in V} X_{ij}^k - \sum_{i \in V} X_{ji}^k = 0 \quad k \in K, j \in V \quad (6)$$

$$\sum_{k \in K} U_i^k = 0 \quad (7)$$

$$U_i^k + 1 \leq U_j^k + M(1 - X_{ij}^k) \quad i \in V, j \in V \setminus \{v\}, k \in K \quad (8)$$

$$\sum_{i \in V} X_{ij}^k = Z_j^k \quad j \in V \setminus \{v\}, k \in K \quad (9)$$

$$\sum_{i \in V} \sum_{r \in R} dp_{ir} Z_i^k \leq CP_k \quad k \in K \quad (10)$$

$$\sum_{q \in L} Y_q^k = 1 \quad k \in K \quad (11)$$

$$\sum_{k \in K} Y_q^k = 1 \quad q \in L \quad (12)$$

$$\begin{aligned} \sum_{k \in K} \sum_{i \in P} dp_{ir} Z_i^k Y_q^k &= \sum_{l \in L} N_{qlr} \\ q \in L, r \in R \end{aligned} \quad (13)$$

$$\sum_{k \in K} \sum_{i \in RE} dp_{ir} Z_i^k Y_q^k = \sum_{l \in L} N_{lqr} \quad q \in L, r \in R \quad (14)$$

$$AT_j = (AT_i + t_{ij}) * \sum_{k \in K} x_{ij}^k \quad \forall i, j \in v \setminus \{v\} \quad (15)$$

$$AT_j < ub_j + Vu_j \quad \forall j \in v \quad (16)$$

$$AT_j \geq lb_j - Vl_j \quad \forall j \in v \quad (17)$$

$$X_{ij}^k, Z_i^k, Y_q^k \in \{0, 1\}, \quad (18)$$

$$N_{lqr}, U_i^k \in R^+ \quad (18)$$

رابطه‌ی ۱ تابع هدف مسئله است، که مجموع کل هزینه‌ها شامل هزینه‌های حمل و نقل بین گره‌ها و هزینه‌های حمل و نقل داخل انبار عبوری است. محدودیت ۲ بیان می‌کند که تمام وسائل نقلیه از انبار عبوری خارج شوند. رابطه‌ی ۳ تضمین می‌کند که تمام نقاط بازدید شوند. رابطه‌ی ۴ تضمین می‌کند که تولیدکنندگان از وسائل نقلیه‌یی که به آن‌ها تخصیص داده شده است، استفاده کنند (وسائل نقلیه بزرگ‌تر) و ۵ تضمین

شده این تغییر در رشته باقی بماند. از این فهرست برای جلوگیری از بازگشت به جواب‌هایی که قبلاً بررسی شده‌اند و باعث ایجاد بهبود در جواب مسئله شده‌اند، استفاده می‌شود که منجر به افزایش کارایی الگوریتم و در عین حال کاهش زمان اجرای آن می‌شود. در الگوریتم جستجوی ممنوعه استفاده شده در این مقاله ابتدا یک فهرست از جواب‌های قابل قبول (ActionList) تولید می‌شود. با آزمایش‌های اولیه، طول فهرست مطرح در این مقاله وابسته به طول نمایش جواب تعریف شد. در تولید (ActionList) از سه عملگر جهش استفاده شده است که شرح این عملگرها در ادامه ارائه می‌شود. با فرض طول رشته برای با RL تعداد $RL/2 - 1$ همسایگی با استفاده از جهش Scramble، تعداد $2RL/2 - 1$ همسایگی با استفاده از جهش Reversion، و تعداد $2RL$ همسایگی با استفاده از جهش $RL(RL)$ برابر با $1/4$ طول فهرست جواب‌های قابل قبول برای بررسی، که در قبل محاسبه شد، عملکرد خوبی ارائه می‌کند.

۰/۴۷	۰/۳۵	۰/۸۳	۰/۵۹	۰/۵۵	۰/۹۲	۰/۲۹	۰/۷۶	۰/۷۵	۰/۳۸	۰/۵۷	۰/۰۸
۲	۱	۳	۲		۱	۳	۴	۲	۳	۱	
تامین کنندگان				مشتریان				سکوها			

شکل ۲. یک مثال عددی از نمایش جواب.

۴. رویکرد حل مسئله

در این بخش در ابتدا رشته‌ی پیشنهادی استفاده شده در روش‌های فرآیندکاری توضیح داده می‌شود؛ در ادامه به توضیح الگوریتم فرآیندکاری پیشنهادی مبتنی بر الگوریتم شبیه‌سازی تبرید (SA) والگوریتم فرآیندکاری جستجوی ممنوعه (TS) پرداخته می‌شود و در نهایت نحوه‌ی تنظیم پارامترهای الگوریتم توضیح داده می‌شود.

۴.۱. نمایش جواب

اولین گام در حل یک مسئله با استفاده از روش‌های فرآیندکاری، تعریف یک نمایش جواب است. برای تولید جمعیت اولیه ساختار نمایش جواب باید متناسب با ویژگی‌های مسئله و جواب‌های تولید شده باشد. برای این منظور در این مقاله از یک رشته جواب با طول $(P + K_1 - 1) + (RE + K_2 - 1)$ استفاده شده است. مقادیر موجود در رشته جواب اعدادی بین صفر و یک هستند. تعداد $P + K_1$ خانه‌ی اول مربوط به مسیریابی جمع‌آوری کالاهاست. $1 - RE + K_2$ خانه‌ی بعدی مربوط به مسیریابی توزیع است و L خانه‌ی نهایی مربوط به تخصیص وسائل نقلیه به سکوهاست. شکل ۲ نمونه‌ی از رشته‌ی تعریف شده برای مسئله‌ی با 3 تولیدکننده و 3 مشتری و 2 وسیله‌ی نقلیه نوع 1 و 2 وسیله‌ی نقلیه نوع 2 را نشان می‌دهد. چهار خانه‌ی اول مربوط به مسیریابی بخش جمع‌آوری از تأمین‌کنندگان است. برای تفسیر این بخش از نمایش جواب اعداد داخل خانه‌ها به ترتیب صعودی مرتب می‌شوند و مقادیر رتبه‌ی آنها به خانه‌ی مربوط تخصیص می‌یابد. P شماره‌ی اول نشان‌دهنده توالی مشتریان است و $1 - K_1$ شماره‌ی بعدی نشان‌دهنده نقاط تنقیک و وسائل نقلیه است. در مثال ارائه شده مشتریان 1 و 2 با وسیله‌ی نقلیه اول خدمت‌رسانی می‌شوند و مشتری دوم 3 با وسیله‌ی نقلیه دوم خدمت‌رسانی می‌شود. تفسیر بخش دوم رشته نیز مانند بخش اول است. اعداد رتبه‌ی حاصل در بخش آخر رشته نشان‌دهنده سکوی تخصیص یافته به هر وسیله‌ی نقلیه هستند.

۴.۲. الگوریتم جستجوی ممنوعه

الگوریتم جستجوی ممنوعه در سال ۱۹۸۹ برای اولین بار توسط فرد گلادر معروفی شد. در میان الگوریتم‌های فرآیندکاری که برای حل مسائل مسیریابی وسائل نقلیه استفاده شده‌اند، این الگوریتم کارایی خوبی داشته است.^[۲۱] بعد از معروفی این الگوریتم روش‌های ممنوعی برای بهبود آن معروفی شده و ساختار این الگوریتم در حالت کلی به این صورت است که ابتدا یک جواب اولیه تولید می‌شود، سپس به تولید همسایگی در اطراف جواب اولیه می‌پردازد. در صورتی که تغییری در رشته سبب بهبود در جواب شود، این تغییر پذیرفته می‌شود و تغییر یاد شده در یک فهرست ممنوعه قرار می‌گیرد تا در چندین گام از قبل مشخص

۴.۳. الگوریتم شبیه‌سازی تبرید

الگوریتم شبیه‌سازی تبرید برای اولین بار در سال ۱۹۸۳ توسط کرکاتریک و همکاران^[۲۲] معرفی شد. این الگوریتم برای حل تعداد زیادی از مسائل پیچیده و مسائل مربوط به دنیای واقعی به کار گرفته شده است.^[۲۳] ویژگی اصلی این الگوریتم فرآیندکاری برخلاف سایر الگوریتم‌های فرآیندکاری مبتنی بر جستجوی همسایگی، این است که این الگوریتم در همسایگی جواب فعلی به دنبال بهینه‌ی کلی نمی‌گردد؛ بلکه SA یک راه حل تصادفی از همسایگی جواب فعلی انتخاب می‌شود و بر اساس تابع برآزنده‌گی یا تابع هزینه‌ی آن راه حل جدید پذیرفته باشد می‌شود. این الگوریتم شرایط لازم برای خارج شدن از بهینه‌ی محلی را نیز فراهم می‌کند که بر کارایی الگوریتم می‌افزاید.^[۲۴] احتمال پذیرش جواب‌های نامطلوب به دمای فعالی بستگی دارد. الگوریتم SA به شرطی با احتمال 1 به سمت جواب بهینه حرکت می‌کند که دمای اولیه سیار زیاد و سرعت کاهش دمای کم باشد؛ در غیر این صورت الگوریتم به سمت یک بهینه‌ی محلی همگرا خواهد شد که این بهینه‌ی محلی می‌تواند بهینه‌ی جهانی باشد. در این الگوریتم از مفهوم دما برای شبیه‌سازی فرآیند سرد شدن فیزیکی استفاده می‌شود و دمای بالاتر به معنی احتمال بیشتر برای پذیرش جواب جدید است. در این مقاله در طراحی ساختار الگوریتم SA برای تولید جواب‌های همسایه از سه نوع جهش مشابه الگوریتم جستجوی ممنوعه استفاده شده است که شرح آن در ادامه خواهد آمد. شیوه کد الگوریتم شبیه‌سازی تبرید به صورت شکل ۳ ارائه می‌شود.

۴.۴. عملگرهای تولید همسایگی

در این مقاله از سه نوع مختلف تولید همسایگی در الگوریتم‌های Insertion (Scramble)، جهش تکان (Reversion) و جهش الحاق (Scramble)، جهش‌های استفاده شده در این پژوهش اند که در پیش آزمایش‌ها نتایج خوبی ارائه کرده‌اند. در جهش تکان، دو نقطه به تصادف از یک رشته جواب انتخاب می‌شوند و عناصر بین آن دو نقطه به طور تصادفی در هم می‌آمیزند (شکل ۴). در جهش الحاق یک عنصر به تصادف انتخاب می‌شود و در طول رشته جواب در محل دیگری قرار می‌گیرد (شکل ۵) و در نهایت در جهش معکوس‌سازی، دو نقطه



شکل ۳. شبکه کد الگوریتم شبیه‌سازی تبرید.

۵.۴. طراحی آزمایش‌ها

در الگوریتم‌های طراحی شده سطوح مختلف پارامترهای هر الگوریتم دریش آزمایش‌ها بررسی شده‌اند و بهترین سطح برای انجام آزمایش‌ها در نظر گرفته شده است. جدول ۱ سطوح منتخب برای الگوریتم جستجوی ممنوعه (TS) و الگوریتم شبیه‌سازی تبرید (SA) را نشان می‌دهد.

در این قسمت به بررسی عملکرد الگوریتم‌های فرالاتکاری در ابعاد کوچک و بزرگ پرداخته می‌شود. بدین منظور در ابتدا نحوه تولید مسائل نمونه توضیح داده می‌شود و در ادامه به بررسی نتایج حاصل از الگوریتم‌ها در ابعاد کوچک و بزرگ پرداخته می‌شود. به‌منظور بررسی و مقایسه‌ی کارایی دو الگوریتم پیشنهاد شده در این مقاله، هر دو الگوریتم در محیط MATLAB ۲۰۱۴ کدنویسی شده‌اند. این الگوریتم‌ها توسط رایانه‌ی با مشخصات i5 Intel(R) Core(TM) ۲ G Hz ۳/۲ RAM GB CPU با ۴ گیگابایتی GAMS ۲۳/۷ نیز کدنویسی شده است و نتایج مدل مسئله‌ی مطرح شده در نرم‌افزار GAMS ۳۶۰۰ زمانی ۳۶۰۰ ثانیه‌یی در نظر گرفته شده است.

۶. تولید مسائل نمونه

به دلیل جدید بودن مسئله‌ی مطرح در این مقاله هیچ دسته مسائل نمونه‌یی برای مقایسه وجود ندارد. پس تعدادی مسئله‌ی نمونه طراحی شده است تا با استفاده از آن‌ها بتوان عملکرد الگوریتم‌ها را مقایسه کرد.

مسئله‌ی نمونه‌ی استفاده شده در این مقاله با تغییراتی به‌منظور نزدیک‌سازی مسائل نمونه به مسئله‌ی مطرح از مسائل نمونه‌ی آگرلت و همکاران موجود در وبسایت <http://neo.lcc.uma.es/vrp/> به دست آمده‌اند. در این دسته از مسائل نمونه، ۲۷ مسئله‌ی نمونه برای مسئله‌ی مسیریابی با ظرفیت محدود ارائه شده است. برای مشخص کردن تعداد گره‌های مربوط به تولیدکننده‌ها و مشتریان

۰/۸۱	۰/۹۱	۰/۱۳	۰/۹۱	۰/۶۳	۰/۱۰	۰/۲۸	۰/۵۵	۰/۹۵	۰/۹۹	۰/۱۶	۰/۹۷
------	------	------	------	------	------	------	------	------	------	------	------

۰/۸۱	۰/۹۱	۰/۱۳	۰/۹۱	۰/۱۰	۰/۶۳	۰/۵۵	۰/۲۸	۰/۹۵	۰/۹۹	۰/۱۶	۰/۹۷
------	------	------	------	------	------	------	------	------	------	------	------

شکل ۴. جهش تکان.

۰/۸	۰/۹	۰/۱۳	۰/۹۱	۰/۶۳	۰/۱۰	۰/۲۸	۰/۵۵	۰/۹۵	۰/۹۹	۰/۱۶	۰/۹۷
-----	-----	------	------	------	------	------	------	------	------	------	------

۰/۸۱	۰/۹۱	۰/۹۱	۰/۶۳	۰/۱۰	۰/۲۸	۰/۵۵	۰/۱۳	۰/۹۵	۰/۹۹	۰/۱۶	۰/۹۷
------	------	------	------	------	------	------	------	------	------	------	------

شکل ۵. جهش الحق.

۰/۸۱	۰/۹۱	۰/۱۳	۰/۹۱	۰/۶۳	۰/۱۰	۰/۲۸	۰/۵۵	۰/۹۵	۰/۹۹	۰/۱۶	۰/۹۷
------	------	------	------	------	------	------	------	------	------	------	------

۰/۸۱	۰/۹۱	۰/۱۳	۰/۹۱	۰/۶۳	۰/۱۰	۰/۲۸	۰/۵۵	۰/۹۵	۰/۹۹	۰/۱۶	۰/۹۷
------	------	------	------	------	------	------	------	------	------	------	------

شکل ۶. جهش معکوس سازی.

به تصادف انتخاب می‌شوند و عناصر بین این دو نقطه بر عکس می‌شوند (شکل ۶). بعد از اجرای عملکر جهش برای تبدیل رشته جواب‌ها به جواب‌های متناسب با ساختار مسئله مراحل قبلی تکرار می‌شوند. معیار پایان الگوریتم‌ها در این مقاله عدم بهبود جواب در ۵۰ تکرار متوالی در نظر گرفته شده است.

جدول ۱. تنظیم پارامتر الگوریتم جستجوی ممنوعه و الگوریتم شبیه‌سازی تبرید.

نوع پارامتر	سطح پارامتر الگوریتم جستجوی ممنوعه	سطح پارامتر الگوریتم شبیه‌سازی تبرید	سطح پارامتر الگوریتم شبیه‌سازی تبرید
تعداد تکرار تا توقف الگوریتم بدون بهبود جواب (MaxIt)	۵۰	۵۰	۵۰
تولید همسایگی از جهش تکان در هر تکرار	$RL(RL - 1)/8$	$RL(RL - 1)/2$	$RL(RL - 1)/8$
تولید همسایگی از جهش الحاق در هر تکرار	$RL(RL - 1)/8$	$RL(RL - 1)/2$	$RL/2$
تولید همسایگی از جهش معکوس سازی در هر تکرار	-	$2.RL$	-
طول فهرست ممنوعه (TabuList)	$1/4.(ActionList)$	-	-
دماه اولیه (t_0)	میانگین تابع هدف	-	-
بیشینه‌ی تعداد تکرار دوم (MaxIt2)	۱۰	-	-
مقادیر پارامتر α	تولید شده	-	-
بیشینه‌ی تعداد تکرار دوم (MaxIt2)	-	-	-
بیشینه‌ی تعداد تکرار دوم (MaxIt2)	-	-	-

جدول ۲. نتایج حاصل از نرم‌افزار گمز، الگوریتم‌های شبیه‌سازی تبرید و جستجوی ممنوعه برای مسائل در ابعاد کوچک.

#	P	RE	K	CPLEX		SA			TS		
				Opt Sol	Time	Opt Sol	Time	Gap%	Opt Sol	Time	Gap%
۱	۲	۲	۲	۶۹۰۵	۰,۰۳	۶۹۰۵	۵/۹۸	۰,۰۰۰۰	۶۹۰۵	۰,۰۵	۰,۰۰۰۰
۲	۲	۴	۲	۷۴۷۵	۰,۵	۷۴۷۵	۳۰,۳۴	۰,۰۰۰۰	۷۴۷۵	۰,۱۲	۰,۰۰۰۰
۳	۲	۶	۳	۸۶۶۶	۰,۱۴	۹۴۸۰	۳۷,۱۹	۰,۰۸۵۹	۸۶۶۶	۰,۴۸	۰,۰۰۰۰
۴	۳	۶	۳	۹۱۱۶	۰,۱۴	۹۹۶۲	۳۶,۹۲	۰,۰۸۴۹	۹۹۵۳	۰,۵۰	۰,۰۸۴۱
۵	۴	۶	۳	۱۰۸۶۴	۰,۰۹	۱۰۸۶۴	۳۷,۲۶	۰,۰۰۰۰	۱۰۹۱۴	۰,۶۵	۰,۰۰۴۶
۶	۳	۸	۳	۹۵۸۳	۰,۱۴	۱۰۴۵۰	۳۹,۰۲	۰,۰۸۳۰	۱۰۴۶۰	۰,۹۲	۰,۰۸۳۸
۷	۳	۸	۴	۱۱۴۹۴	۸,۸۴	۱۱۴۹۴	۴۱,۰۸	۰,۰۰۰۰	۱۱۵۰۷	۱,۵۱	۰,۰۰۵۵
۸	۵	۸	۴	۱۳۹۰۹	۷,۱۷	۱۴۱۴۷	۴۱,۴۱	۰,۰۱۶۸	۱۴۰۷۱	۲,۷۲	۰,۰۱۱۵
۹	۶	۸	۴	۱۳۵۰۳	۱۴,۷۵	۱۳۵۰۳	۴۱,۴۷	۰,۰۰۰۰	۱۳۵۰۳	۲,۸۳	۰,۰۰۰۰
۱۰	۶	۱۰	۴	۱۵۱۵۰	۳۵,۴۷	۱۵۲۲۲	۴۰,۴۷	۰,۰۰۵۴	۱۵۲۰۵	۴,۷۱	۰,۰۰۳۶
۱۱	۶	۱۰	۵	۱۵۹۹۵	۱۰۹۵,۰۶	۱۶۳۸۷	۴۷,۳۵	۰,۰۲۳۹	۱۶۵۰۶	۸,۴۲	۰,۰۳۱۰
۱۲	۶	۱۲	۵	۱۶۱۵۱	۲۰۴,۶۱	۱۶۱۶۶	۴۲,۱۴	۰,۰۰۰۹	۱۶۱۵۱	۸,۹۶	۰,۰۰۰۰
۱۳	۸	۱۲	۵	۱۶۷۴۰	۹۹۱,۰۲	۱۶۸۱۵	۴۲,۳۱	۰,۰۰۴۵	۱۶۸۳۱	۱۳,۳۵	۰,۰۰۵۴
۱۴	۸	۱۳	۵	۷۱۰۲	۰,۰۳	۷۱۰۲	۵,۹۹	۰,۰۰۰۰	۷۱۰۲	۰,۰۷	۰,۰۰۰۰
۱۵	۸	۱۴	۵	۷۶۷۵	۰,۰۵	۷۶۷۵	۳۰,۸۴	۰,۰۰۰۰	۷۶۷۵	۰,۱۳	۰,۰۰۰۰
۱۶	۸	۱۵	۵	۸۸۳۲	۰,۱۴	۹۴۲۳	۳۷,۱۸	۰,۰۶۲۷	۹۵۱۸	۰,۴۴	۰,۰۷۲۱
میانگین				۰,۰۲۳۰			۰,۰۱۸۸				

۲۰ در نظر گرفته شدند. میزان تقاضا یا تولید از هر کالا به صورت تصادفی تولید شده است. میزان تقاضا به صورت تصادفی در بازه‌ی ۱ تا ۲۰ و میزان تولید هر نوع کالا در بازه‌ی ۱ تا ۴۰ تولید شده است. در نهایت به منظور موازنیه میزان تولید و تقاضا تغییراتی بر میزان تولید اعمال شد. مسائل کوچک و متوسط نیز از مسائل نمونه‌ی بزرگ و با حذف تعدادی از مشتریان و تأمین‌کنندگان حاصل شده‌اند. به منظور تولید پنجره‌ی زمانی مشتریان حداکثر طول تورهای بهینه‌ی مسئله‌ی اصلی شد که ظرفیت وسایل نقلیه در حدود ۱/۲ تقدیر باشد. برای تمام مسائل نمونه دو بزرگ ظرفیت اولیه در عدد ۱/۵ ضرب شد. تعداد وسایل نقلیه به صورتی تعیین شد که ظرفیت وسایل نقلیه در حدود ۱/۲ تقدیر باشد. برای تمام مسائل نمونه دو نوع کالا در نظر گرفته شد. هزینه‌ی انتقال هر واحد کالا در داخل انبار عبوری برای کالای نوع ۱ برابر با ۱ و برای کالای نوع ۲ برابر با ۲ در نظر گرفته شد. فاصله‌ی بین سکوها در داخل انبار عبوری به این صورت محاسبه شد که سکوها روبرو باشند. فاصله‌ی بین سکوها در داخل انبار عبوری به این صورت محاسبه شد که سکوها برابر با آمد.

جدول ۳. نتایج حاصل از الگوریتم‌های شبیه‌سازی تبید و جست‌وجوی ممنوعه برای مسائل در اندازه بزرگ.

#	P	RE	K	SA			TS		
				Opt Sol	CPU Time	Gap%	Opt Sol	CPU Time	Gap%
۱	۱۰	۲۱	۵	۲۰۹۲۷	۴۲,۶۳	۰	۲۱۰۷۰	۴۲,۴۹	۰,۰۰۷۰
۲	۱۰	۲۲	۵	۱۹۲۱۹	۴۲,۸۲	۰	۱۹۷۵۱	۴۶,۴۸	۰,۲۶۹
۳	۱۰	۲۲	۶	۱۷۷۳۶	۴۶,۲۰	۰	۱۸۰۹۹	۷۱,۶۵	۰,۰۲۰۰
۴	۱۱	۲۲	۵	۳۰۴۸۷	۴۲,۶۶	۰	۳۰۵۵۸	۴۷,۸۷	۰,۰۰۲۳
۵	۱۱	۲۲	۵	۲۰۳۸۷	۴۲,۶۳	۰	۲۱۱۶۱	۴۵,۴۴	۰,۰۳۶۶
۶	۱۲	۲۲	۵	۱۹۴۷۰	۴۶,۳۹	۰	۱۹۵۱۰	۵۳,۵۴	۰,۰۰۲۰
۷	۱۲	۲۲	۶	۲۳۰۹۱	۵۰,۱۰	۰	۲۲۴۷۱	۷۳,۳۴	۰,۰۱۶۲
۸	۱۲	۲۵	۵	۲۰۲۹۹	۴۱,۹۷	۰	۲۰۶۸۳	۸۱,۷۸	۰,۰۱۸۶
۹	۱۲	۲۶	۵	۲۱۶۱۴	۴۵,۵۷	۰	۲۲۱۱۶	۷۴,۱۴	۰,۰۲۲۷
۱۰	۱۲	۲۶	۶	۲۱۳۹۱	۴۵,۴۶	۰	۲۲۱۵۲	۱۰۱,۷۶	۰,۰۳۴۴
۱۱	۱۴	۲۹	۷	۲۵۲۷۲	۵۴,۰۱	۰	۲۵۸۶۷	۱۵۷,۰۰	۰,۰۲۳۰
۱۲	۱۴	۳۰	۶	۲۵۶۸۱	۵۱,۴۴	۰	۲۶۲۳۳	۱۲۵,۴۱	۰,۰۲۱۰
۱۳	۱۴	۳۰	۷	۲۸۰۰۲	۵۴,۸۴	۰	۲۹۱۹۰	۱۰۲,۷۷	۰,۰۴۰۷
۱۴	۱۵	۳۰	۷	۲۴۴۲۰	۵۴,۵۰	۰	۲۴۶۲۰	۱۷۴,۴۴	۰,۰۰۸۱
۱۵	۱۵	۳۲	۷	۲۷۷۲۵۲	۵۵,۳۴	۰	۲۹۶۹۶	۱۶۲,۳۰	۰,۰۸۲۳
۱۶	۱۷	۳۵	۷	۲۶۲۶۱	۵۴,۷۰	۰	۲۸۳۹۱	۲۲۸,۳۲	۰,۰۷۵۰
۱۷	۱۷	۳۶	۷	۲۹۱۹۲	۵۳,۷۸	۰	۳۰۷۴۵	۲۵۱,۷۲	۰,۰۵۰۶
۱۸	۱۸	۳۶	۹	۳۰۹۰۸	۶۱,۶۸	۰	۳۲۸۴۶	۳۱۲,۸۳	۰,۰۵۹۰
۱۹	۱۹	۴۰	۹	۳۲۶۳۷	۶۱,۷۳	۰	۳۵۱۶۵	۴۰۹,۱۰	۰,۰۷۱۹
۲۰	۲۰	۴۰	۹	۳۲۰۸۹	۶۲,۰۱	۰	۳۴۱۸۶	۴۸۲,۸۱	۰,۰۶۱۳
۲۱	۲۰	۴۱	۸	۳۱۵۱۱	۵۸,۲۹	۰	۳۲۵۶۸	۴۲۲,۶۰	۰,۰۳۲۵
۲۲	۲۰	۴۲	۹	۳۵۳۴۲	۵۸,۰۵	۰	۳۶۹۱۸	۵۰۶,۱۳	۰,۰۴۲۷
۲۳	۲۰	۴۲	۱۰	۳۴۴۲۸	۶۳,۹۷	۰	۳۶۰۳۵	۴۹۵,۱۸	۰,۰۴۴۶
۲۴	۲۱	۴۲	۹	۳۵۵۳۷	۵۶,۰۴	۰	۳۷۳۴۹	۵۰۳,۲۰	۰,۰۴۸۵
۲۵	۲۱	۴۳	۹	۳۱۸۱۳	۵۹,۶۰	۰	۳۲۸۷۳	۴۶۹,۲۴	۰,۰۶۰۸
۲۶	۲۲	۴۶	۹	۳۴۶۳۹	۶۱,۵۷	۰	۳۶۸۰۸	۷۳۷,۶۶	۰,۰۵۸۹
۲۷	۲۶	۵۳	۱۰	۴۵۱۶۶	۶۷,۹۰	۰	۴۶۷۳۱	۱۰۱۴,۹۴	۰,۰۳۳۵
میانگین				۵۳,۲۱	۰		۲۷۰,۱۹	۰,۰۳۷۱	

در این معادله Obj مقدار تابع هدف حاصل از الگوریتم فرالبتکاری و $BObj$ بهترین جواب پیدا شده برای مسئله است.

همانگونه که از جدول ۲ مربوط به حل مسائل در اندازه بزرگ مشخص است، هر دو الگوریتم با خطای در حدود ۰٪ عملکرد مناسبی داشته‌اند؛ اما از نظر زمان حل الگوریتم جست‌وجوی ممنوعه عملکرد بهتری را ارائه کرده است. بیشینه‌ی خطای دو الگوریتم یکسان است که برابر با ۰,۰۸ است. هر دو الگوریتم جستجوی ممنوعه و شبیه‌سازی تبید در تعداد ۷ مسئله از ۱۶ مسئله نمونه به جواب بهینه رسیده‌اند.

۲.۵. نتایج در اندازه بزرگ

در این قسمت به بررسی عملکرد الگوریتم‌های جستجوی ممنوعه و شبیه‌سازی تبید در حل مسئله‌ی مطرح شده پرداخته می‌شود. همانگونه که در جدول ۳ مشخص است، الگوریتم شبیه‌سازی تبید پیشنهادی در تمام مسائل با اندازه بزرگ جوابی بهتر

۵. نتایج

در این بخش نتایج حل مسائل در اندازه کوچک و بزرگ بررسی می‌شود.

۱.۵. نتایج در اندازه کوچک

نتایج به دست آمده از حل مسائل نمونه با نرم‌افزار GAMS و دو الگوریتم طراحی شده در جداول ارائه شده‌اند. همان‌طور که در جداول مشخص است، نرم‌افزار GAMS قادر به حل مسائل با تعداد گره‌های بیشتر از ۲۰ و تعداد وسایل نقلیه‌ی بیشتر از ۵ نیست. روش دقیق در مسئله‌ی ۱۴ در زمان محدود ۳۶۰۰ ثانیه به جواب موجه نرسید؛ پس مسئله‌ی ۱۴ و بقیه‌ی مسائل بزرگ‌تر به عنوان مسائل متوسط و بزرگ در نظر گرفته شد. به منظور محاسبه‌ی مقدار خطای رابطه‌ی ۲۷ بهره‌گرفته شد.

$$Gap = \frac{Obj - BObj}{BObj} \quad (27)$$

از سه نوع همسایگی مختلف بهره برده شد. به منظور بررسی عملکرد الگوریتم پیشنهادی ۱۶ مسئله در ابعاد کوچک و ۲۷ مسئله در ابعاد بزرگ حل شد و نتایج بررسی شد. از نظر عملکرد هر دو الگوریتم فرالابتکاری در ابعاد کوچک عملکرد نزدیک به هم داشتند. اما نتایج حاصل از حل مسائل با ابعاد بزرگ نشان دهنده برتری الگوریتم شبیه‌سازی تبرید پیشنهادی نسبت به الگوریتم جستجوی ممنوعه است. در این ابعاد الگوریتم شبیه‌سازی تبرید جواب‌های حاصل از الگوریتم جستجوی ممنوعه را در حدود سه درصد بهبود داد. از نظر زمان حل نیز الگوریتم شبیه‌سازی تبرید در زمانی در حدود ۵۳ ثانیه به طور متوسط زمانی در حدود ۲۷۰ ثانیه برای حل که الگوریتم جستجوی ممنوعه به طور متوسط زمانی در حدود ۵۳ ثانیه برای حل مسائل صرف کرد. به منظور انجام تحقیقات و فعالیت‌های آتی می‌توان عملکرد سایر الگوریتم‌ها اعم از الگوریتم‌های دقیق مانند روش شاخه و کران و الگوریتم‌های فرالابتکاری دیگر را بررسی کرد. همچنین می‌توان مبحث زمان‌بندی را با توجه به اهمیت و کاربردی بودن آن در مسئله‌ای ارائه شده به طور هم‌زمان در یک مسئله بررسی کرد. از سوی دیگر مبحث هماهنگی زمانی وسائل نقلیه‌ی ورودی و خروجی در یک انبار عبوری مسئله پیشنهاد شدند. در الگوریتم‌های ارائه شده ساختار رشته جواب متناسب با ساختار مسئله طراحی شده است. همچنین در هر دو الگوریتم، برای ایجاد همسایگی

از الگوریتم جستجوی ممنوعه ارائه می‌کند. در عین حال زمان مورد نیاز الگوریتم شبیه‌سازی تبرید بسیار کمتر از زمان مورد نیاز الگوریتم جستجوی ممنوعه است.

۶. نتیجه‌گیری

در این مقاله به منظور کمینه‌سازی هزینه‌های حمل و نقل داخلی و خارجی انبارهای عبوری یک مدل ریاضی جدید یکپارچه برای مسئله‌ی تخصیص وسائل نقلیه به سکوها و مسیریابی وسائل نقلیه ارائه شد. حل مسئله‌ی تخصیص سکوها در یک انبار عبوری یا حل مسئله‌ی مسیریابی در یک انبار عبوری جواب‌های غیرکارا برای مسئله ایجاد می‌کند؛ زیرا این دو مسئله بر هم تأثیر می‌گذارند. در نظر گرفتن هم‌زمان دو مسئله‌ی مسیریابی در انبار عبوری و تخصیص وسائل نقلیه به سکوها می‌تواند جواب‌های کارآتری را برای مدیریت به همراه داشته باشد. با توجه به NP-Hard بودن مسئله‌ی مطرح شده، دو الگوریتم فرالابتکاری جستجوی ممنوعه و شبیه‌سازی تبرید برای مسئله پیشنهاد شدند. در الگوریتم‌های ارائه شده ساختار رشته جواب متناسب با ساختار مسئله طراحی شده است. همچنین در هر دو الگوریتم، برای ایجاد همسایگی

منابع (References)

1. Kuo, Y. "Optimizing truck sequencing and truck dock assignment in a cross docking system", *Expert Systems with Applications*, **40**, pp. 5532-5541 (2013).
2. Van Belle, J., Valckenaers, P. and Cattrysse, D. "Cross-docking: state of the art", *Omega*, **40**, pp. 827-846 (2012).
3. Oh, Y., Hwang, H., Cha, C.N. and et al. "A dock-door assignment problem for the Korean mail distribution center", *Computers & Industrial Engineering*, **51**, pp. 288-296 (2006).
4. Miao, Z., Lim, A. and Ma, H. "Truck dock assignment problem with operational time constraint within cross-docks", *European Journal of Operational Research*, **192**, pp. 105-115 (2009).
5. Konur, D. and Golias, M.M. "Cost-stable truck scheduling at a cross-dock facility with unknown truck arrivals: a meta-heuristic approach", *Transportation Research Part E: Logistics and Transportation Review*, **49**, pp. 71-91 (2013).
6. Miao, Z., Cai, S. and Xu, D. "Applying an adaptive tabu search algorithm to optimize truck-dock assignment in the crossdock management system", *Expert Systems with Applications*, **41**, pp. 16-22 (2014).
7. Madani-Isfahani, M., Tavakkoli-Moghaddam, R. and Naderi, B. "Multiple cross-docks scheduling using two meta-heuristic algorithms", *Computers & Industrial Engineering*, **74**, pp. 129-138 (2014).
8. Kellar Gregory, M., George, G. and Polak, Zhang X. "Synchronization, cross-docking, and decoupling in supply chain networks", *International Journal of Production Research*, **54**, pp. 2585-2599 (2016).
9. Nikolopoulou, Amalia, I. and et al. "Moving products between location pairs: Cross-docking versus direct-shipping", *European Journal of Operational Research*, **256**(3), pp. 803-819 (2017).
10. Gelareh, S.h. and et al. "A branch-and-cut algorithm for the truck dock assignment problem with operational time constraints", *European Journal of Operational Research*, **249**(3), pp. 1144-1152 (2016).
11. Molavi, D., Shahmardan, A. and Sheikh Sajadieh, M. "Truck scheduling in a cross docking systems with fixed due dates and shipment sorting", *Computers & Industrial Engineering*, **117**, pp. 29-40 (2018).
12. Lee, Y.H., Jung, J.W. and Lee, K.M. "Vehicle routing scheduling for cross-docking in the supply chain", *Computers & Industrial Engineering*, **51**, pp. 247-256 (2006).
13. Liao, C.-J., Lin, Y. and Shih, S.C. "Vehicle routing with cross-docking in the supply chain", *Expert Systems with Applications*, **37**, pp. 6868-6873 (2010).
14. Mousavi, S.M. and Tavakkoli-Moghaddam, R. "A hybrid simulated annealing algorithm for location and routing scheduling problems with cross-docking in the supply chain", *Journal of Manufacturing Systems*, **32**, pp. 335-347 (2013).
15. Dondo, R. and Cerdà, J. "A sweep-heuristic based formulation for the vehicle routing problem with cross-docking", *Computers & Chemical Engineering*, **48**, pp. 293-311 (2013).
16. Mousavi, S.M., Vahdani, B., Tavakkoli-Moghaddam, R. and et al. "Location of cross-docking centers and vehicle routing scheduling under uncertainty: a fuzzy

- possibilistic-stochastic programming model”, *Applied Mathematical Modelling*, **38**, pp. 2249-2264 (2014).
17. Morais, V.W.C., Mateus, G.R. and Noronha, T.F. “Iterated local search heuristics for the vehicle routing problem with cross-docking”, *Expert Systems with Applications*, **41**, pp. 7495-7506 (2014).
 18. Moghadam, S., Fatemi Ghomi, S.M.T. and Karimi, B. “Vehicle routing scheduling problem with cross docking and split deliveries”, *Computers & Chemical Engineering*, **69**, pp. 98-107 (2014).
 19. Agustina, D., Lee, C.K.M. and Piplani, R. “Vehicle scheduling and routing at a cross docking center for food supply chains”, *International Journal of Production Economics*, **152**, pp. 29-41 (2014).
 20. Baniamerian, A., Bashiri, M. and Zabihi, F. “A modified variable neighborhood search hybridized with genetic algorithm for vehicle routing problems with cross-docking”, *Electronic Notes in Discrete Mathematics*, **66**, pp. 143-150 (2018).
 21. Maknoon, Y. and Laporte, G. “Vehicle routing with cross-dock selection”, *Computers & Operations Research*, **77**, pp. 254-266 (2017).
 22. Semet, F., Toth, P. and Vigo, D., *Chapter 2: Classical Exact Algorithms for the Capacitated Vehicle Routing Problem*. In *Vehicle Routing: Problems, Methods, and Applications*, Second Edition. Society for Industrial and Applied Mathematics, pp. 37-57 (2014).
 23. Kirkpatrick, S., Daniel Gelatt, C. and Vecchi, M.P. “Optimization by simulated annealing”, *Science*, **220**(4598), pp. 671-680 (1983).
 24. Suman, B. and Kumar, P. “A survey of simulated annealing as a tool for single and multiobjective optimization”, *J Oper Res Soc*, **57**, pp. 1143-1160 (2005).
 25. Wang, C., Mu, D., Zhao, F. and et al. “A parallel simulated annealing method for the vehicle routing problem with simultaneous pickup-delivery and time windows”, *Computers & Industrial Engineering*, **83**, pp. 111-122 (2015). Gendreau, M. and Potvin, J.Y. Eds., *Handbook of Metaheuristics International Series in Operations Research & Management Science*, 146 pp. 1-39 (2010).